

Starkniederschlagshöhen und -spenden gemäß KOSTRA-DWD-2010R

Auswertungszeitraum von 1951 - 2010, Januar - Dezember

Rasterfeld: 43022

Zeile: 43

Spalte: 22

Seite: 1/2

| Dauerstufe D | Wiederkehrzeit T | | | | | | | | | | | | | | | | | | |
|--------------|------------------|------|------------|------|------------|------|------------|------|------------|------|------------|------|------------|------|------------|-------|------------|-------|------------|
| | 1 a | | 2 a | | 3 a | | 5 a | | 10 a | | 20 a | | 30 a | | 50 a | | 100 a | | |
| min | Std | mm | l / (s ha) | mm | l / (s ha) | mm | l / (s ha) | mm | l / (s ha) | mm | l / (s ha) | mm | l / (s ha) | mm | l / (s ha) | mm | l / (s ha) | mm | l / (s ha) |
| 5 | | 4,9 | 163,3 | 6,7 | 223,3 | 7,7 | 256,7 | 9,0 | 300,0 | 10,7 | 356,7 | 12,5 | 416,7 | 13,5 | 450,0 | 14,8 | 493,3 | 16,6 | 553,3 |
| 10 | | 7,8 | 130,0 | 10,2 | 170,0 | 11,6 | 193,3 | 13,4 | 223,3 | 15,8 | 263,3 | 18,2 | 303,3 | 19,6 | 326,7 | 21,3 | 355,0 | 23,7 | 395,0 |
| 15 | | 9,8 | 108,9 | 12,7 | 141,1 | 14,3 | 158,9 | 16,4 | 182,2 | 19,3 | 214,4 | 22,2 | 246,7 | 23,8 | 264,4 | 25,9 | 287,8 | 28,8 | 320,0 |
| 20 | | 11,2 | 93,3 | 14,5 | 120,8 | 16,4 | 136,7 | 18,7 | 155,8 | 22,0 | 183,3 | 25,2 | 210,0 | 27,1 | 225,8 | 29,5 | 245,8 | 32,8 | 273,3 |
| 30 | | 13,1 | 72,8 | 17,0 | 94,4 | 19,2 | 106,7 | 22,1 | 122,8 | 26,0 | 144,4 | 29,9 | 166,1 | 32,1 | 178,3 | 35,0 | 194,4 | 38,9 | 216,1 |
| 45 | | 14,7 | 54,4 | 19,4 | 71,9 | 22,1 | 81,9 | 25,5 | 94,4 | 30,2 | 111,9 | 34,8 | 128,9 | 37,5 | 138,9 | 41,0 | 151,9 | 45,6 | 168,9 |
| 60 | | 15,7 | 43,6 | 21,0 | 58,3 | 24,1 | 66,9 | 28,0 | 77,8 | 33,2 | 92,2 | 38,5 | 106,9 | 41,6 | 115,6 | 45,5 | 126,4 | 50,8 | 141,1 |
| 90 | | 17,2 | 31,9 | 22,7 | 42,0 | 26,0 | 48,1 | 30,1 | 55,7 | 35,6 | 65,9 | 41,1 | 76,1 | 44,4 | 82,2 | 48,5 | 89,8 | 54,0 | 100,0 |
| 120 | 2 | 18,3 | 25,4 | 24,1 | 33,5 | 27,4 | 38,1 | 31,6 | 43,9 | 37,4 | 51,9 | 43,1 | 59,9 | 46,5 | 64,6 | 50,7 | 70,4 | 56,4 | 78,3 |
| 180 | 3 | 20,1 | 18,6 | 26,1 | 24,2 | 29,6 | 27,4 | 34,0 | 31,5 | 40,1 | 37,1 | 46,1 | 42,7 | 49,6 | 45,9 | 54,0 | 50,0 | 60,1 | 55,6 |
| 240 | 4 | 21,4 | 14,9 | 27,6 | 19,2 | 31,3 | 21,7 | 35,9 | 24,9 | 42,1 | 29,2 | 48,3 | 33,5 | 52,0 | 36,1 | 56,5 | 39,2 | 62,8 | 43,6 |
| 360 | 6 | 23,4 | 10,8 | 30,0 | 13,9 | 33,8 | 15,6 | 38,6 | 17,9 | 45,1 | 20,9 | 51,7 | 23,9 | 55,5 | 25,7 | 60,3 | 27,9 | 66,8 | 30,9 |
| 540 | 9 | 25,6 | 7,9 | 32,5 | 10,0 | 36,5 | 11,3 | 41,6 | 12,8 | 48,4 | 14,9 | 55,3 | 17,1 | 59,3 | 18,3 | 64,3 | 19,8 | 71,2 | 22,0 |
| 720 | 12 | 27,3 | 6,3 | 34,4 | 8,0 | 38,6 | 8,9 | 43,8 | 10,1 | 50,9 | 11,8 | 58,0 | 13,4 | 62,2 | 14,4 | 67,4 | 15,6 | 74,5 | 17,2 |
| 1080 | 18 | 29,9 | 4,6 | 37,4 | 5,8 | 41,7 | 6,4 | 47,2 | 7,3 | 54,7 | 8,4 | 62,1 | 9,6 | 66,5 | 10,3 | 71,9 | 11,1 | 79,4 | 12,3 |
| 1440 | 24 | 31,9 | 3,7 | 39,6 | 4,6 | 44,1 | 5,1 | 49,8 | 5,8 | 57,5 | 6,7 | 65,2 | 7,5 | 69,7 | 8,1 | 75,4 | 8,7 | 83,1 | 9,6 |
| 2880 | 48 | 39,2 | 2,3 | 48,4 | 2,8 | 53,7 | 3,1 | 60,5 | 3,5 | 69,6 | 4,0 | 78,8 | 4,6 | 84,2 | 4,9 | 90,9 | 5,3 | 100,1 | 5,8 |
| 4320 | 72 | 44,2 | 1,7 | 54,2 | 2,1 | 60,1 | 2,3 | 67,5 | 2,6 | 77,5 | 3,0 | 87,5 | 3,4 | 93,4 | 3,6 | 100,8 | 3,9 | 110,8 | 4,3 |

Angaben in mm: Bemessungsniederschlagswerte h(n)

Angaben in l / (s ha): Regenspende R(n) mit $R(n) = h(n) \times 1,666667 / D[\text{min}]$

Toleranzbereiche:

+/- 10 % für $1 \text{ a} \leq T \leq 5 \text{ a}$

+/- 15 % für $5 \text{ a} < T \leq 50 \text{ a}$

+/- 20 % für $50 \text{ a} < T \leq 100 \text{ a}$

Datenbasis: KOSTRA-DWD-2010R des Deutschen Wetterdienstes. Die Regenspende wurde auf Basis des Bemessungsniederschlags zur jeweiligen Andauer berechnet.

Für die Richtigkeit und Aktualität der Angaben wird keine Gewähr übernommen. Erstellt 07/2022.

Starkniederschlagshöhen und -spenden gemäß KOSTRA-DWD-2010R

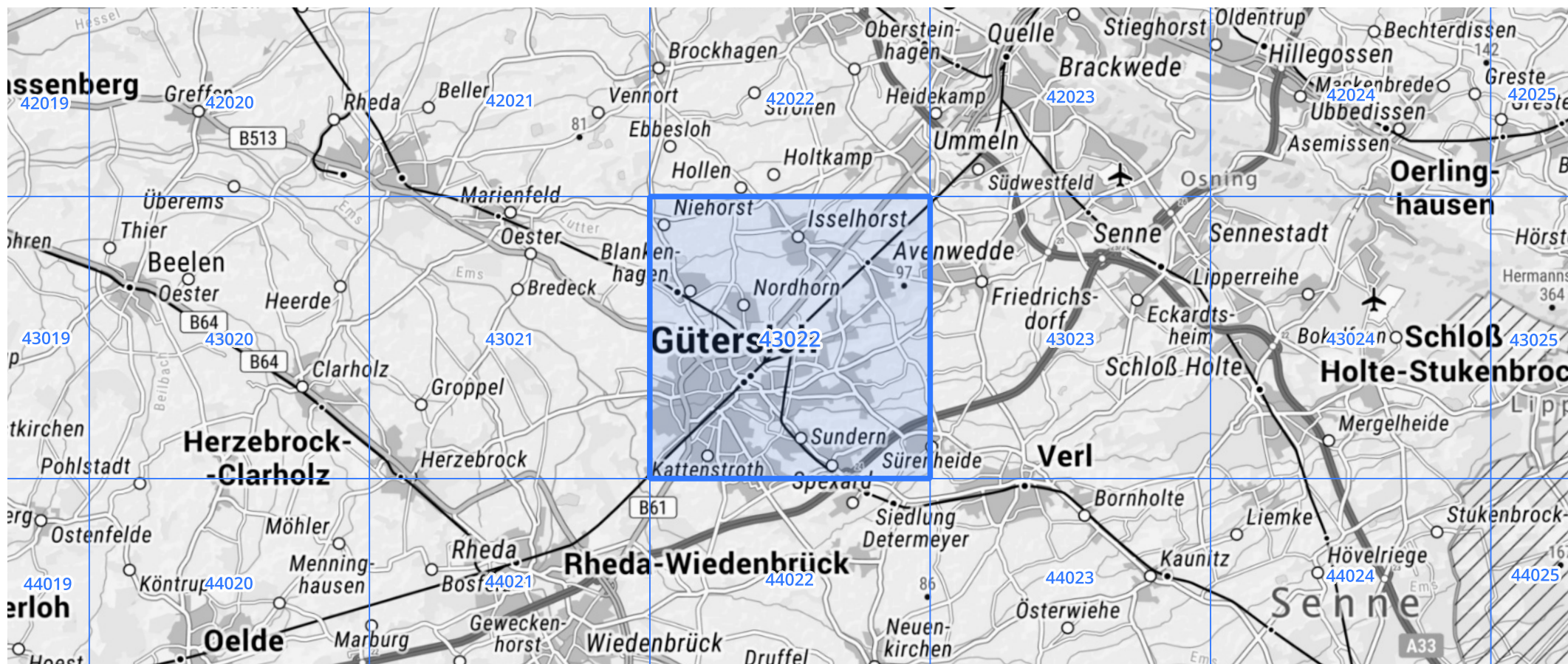
Auswertungszeitraum von 1951 - 2010, Januar - Dezember

Rasterfeld: 43022

Zeile: 43

Spalte: 22

Seite: 2/2



Quelle Rasterdaten: KOSTRA-DWD-2010R des Deutschen Wetterdienstes.

Kartendarstellung: © Bundesamt für Kartographie und Geodäsie (2022), Datenquellen: https://sgx.geodatenzentrum.de/web_public/gdz/datenquellen/Datenquellen_TopPlusOpen.html

Für die Richtigkeit und Aktualität der Angaben wird keine Gewähr übernommen. Erstellt 07/2022.